

# Formation hiérarchique des galaxies

## Concepts clés I

Bruno Guiderdoni

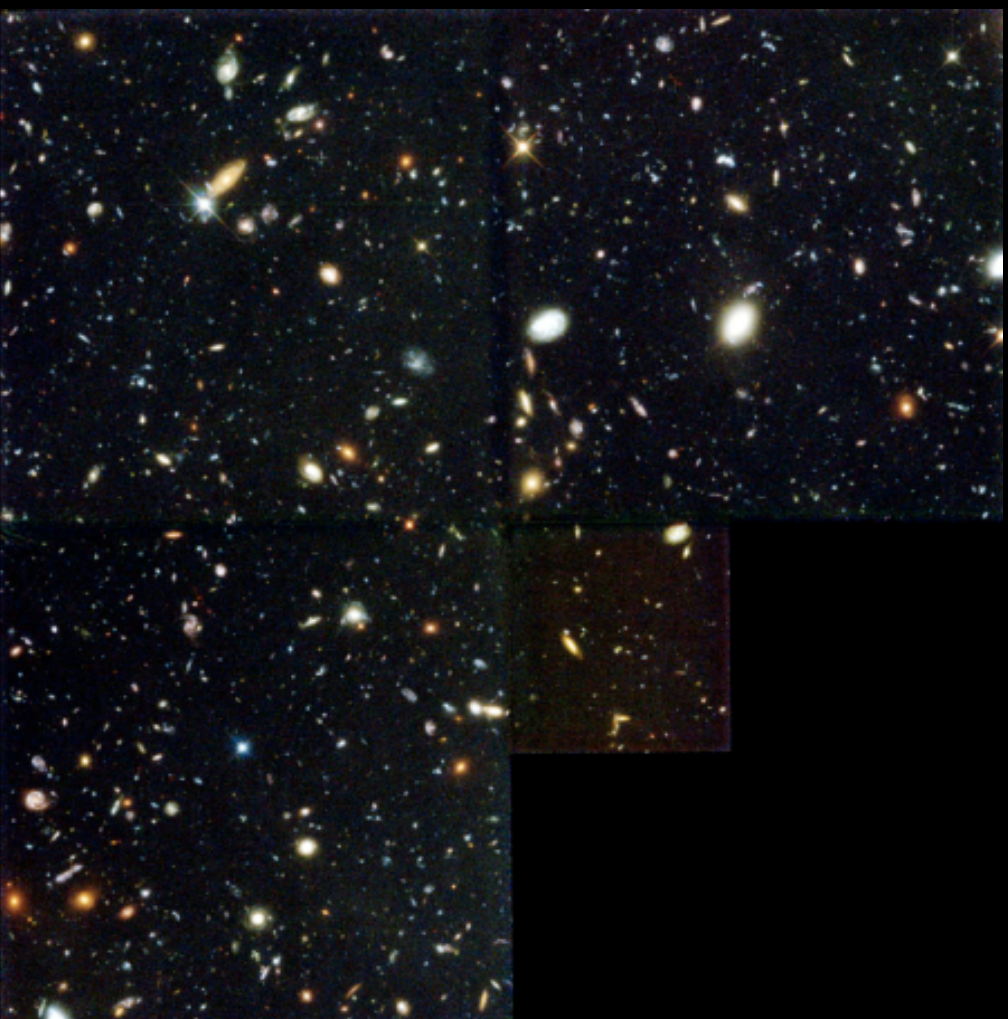
Institut d'Astrophysique de Paris, CNRS

# Formation hiérarchique des galaxies I

- Le paradigme de la FHG et le rôle de matière sombre (DM, *dark matter*)
- Génération et croissance linéaire des perturbations de DM
- Croissance linéaire des perturbations de DM dans un univers dominé par la matière (MD, *matter dominated*)
- Croissance non-linéaire MD: le *top hat* et *Press-Schechter*
- Croissance non-linéaire MD: simulations numériques

# Le Champ Profond de Hubble

une pierre angulaire pour l'évolution des galaxies



$t_{\text{exp}} = 150 \text{ h}$   
3000 objets  
dans  $5.3$   
 $\text{arcmin}^2$

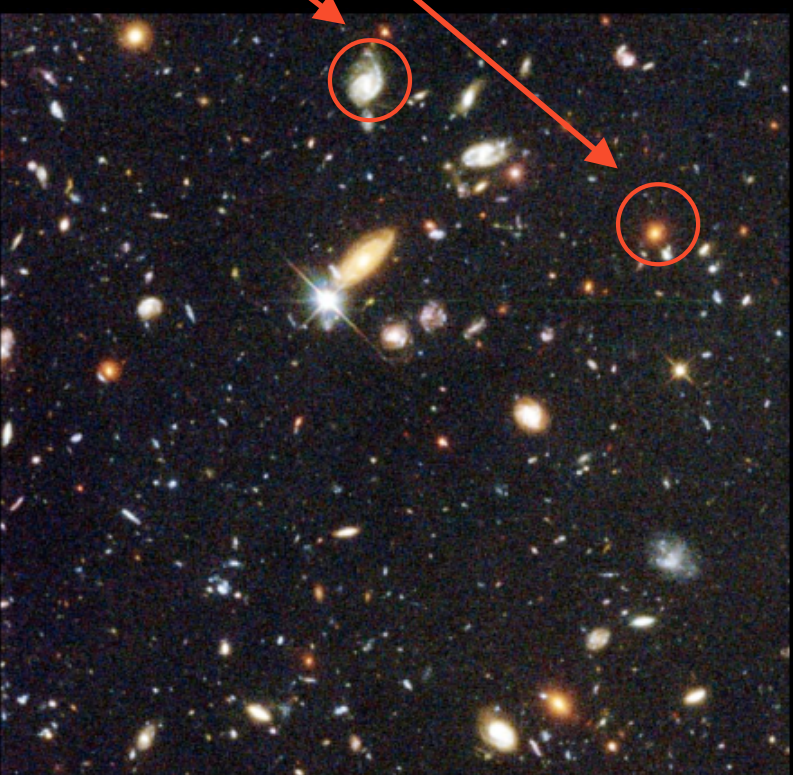
**Hubble Deep Field**

ST ScI OPO January 15, 1996 R. Williams and the HDF Team (ST ScI) and NASA

**HST WFP C2**

# Comment les galaxies se sont-elles formées ?

- Quand la formation des *galaxies* a-t-elle commencé ?
- Quand la formation des *étoiles* a-t-elle commencé ?
- Quelle est l'histoire cosmique du taux de formation des étoiles et des éléments lourds ?
- Comment les sphéroïdes (bulbes et elliptiques) se sont-ils formés ?
- Comment les disques se sont-ils formés ?
- Quel est le rôle de l'extinction dans le bilan de luminosité des galaxies ?
- Etc.

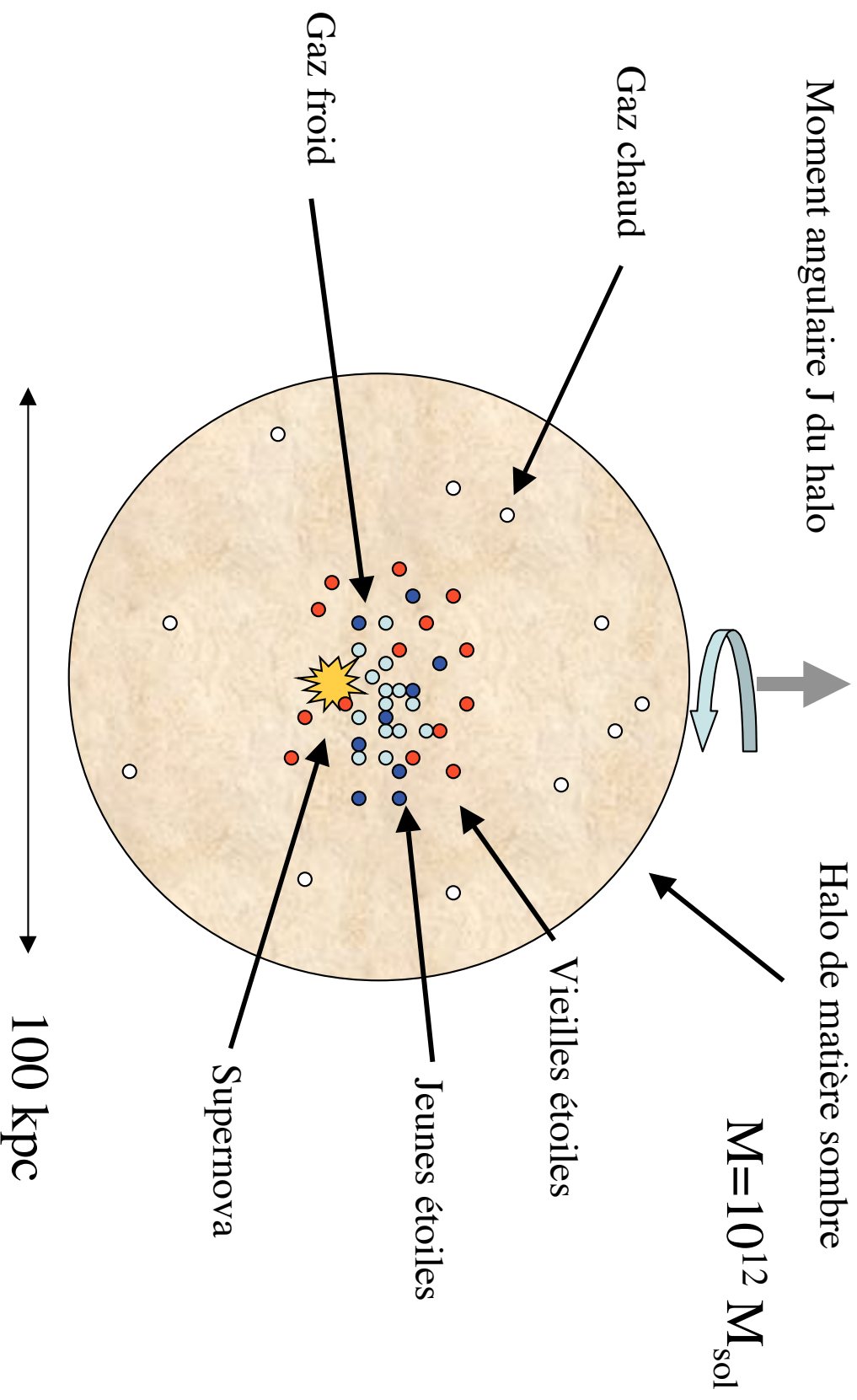


Hubble Deep Field

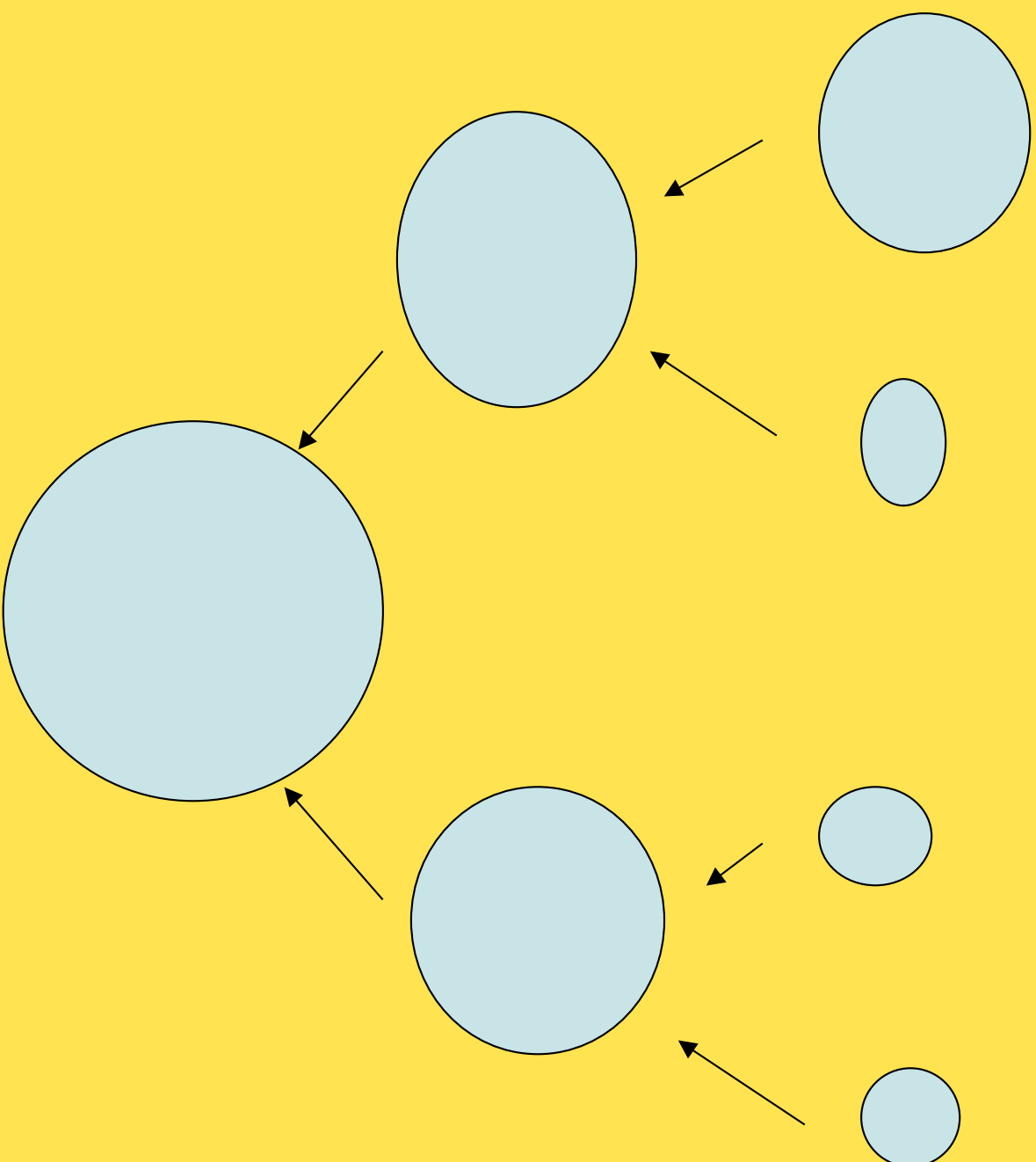
PRC96-01a · ST ScI OPO · January 15, 1996 · R. Williams (ST ScI), NASA

HST · WFPC2

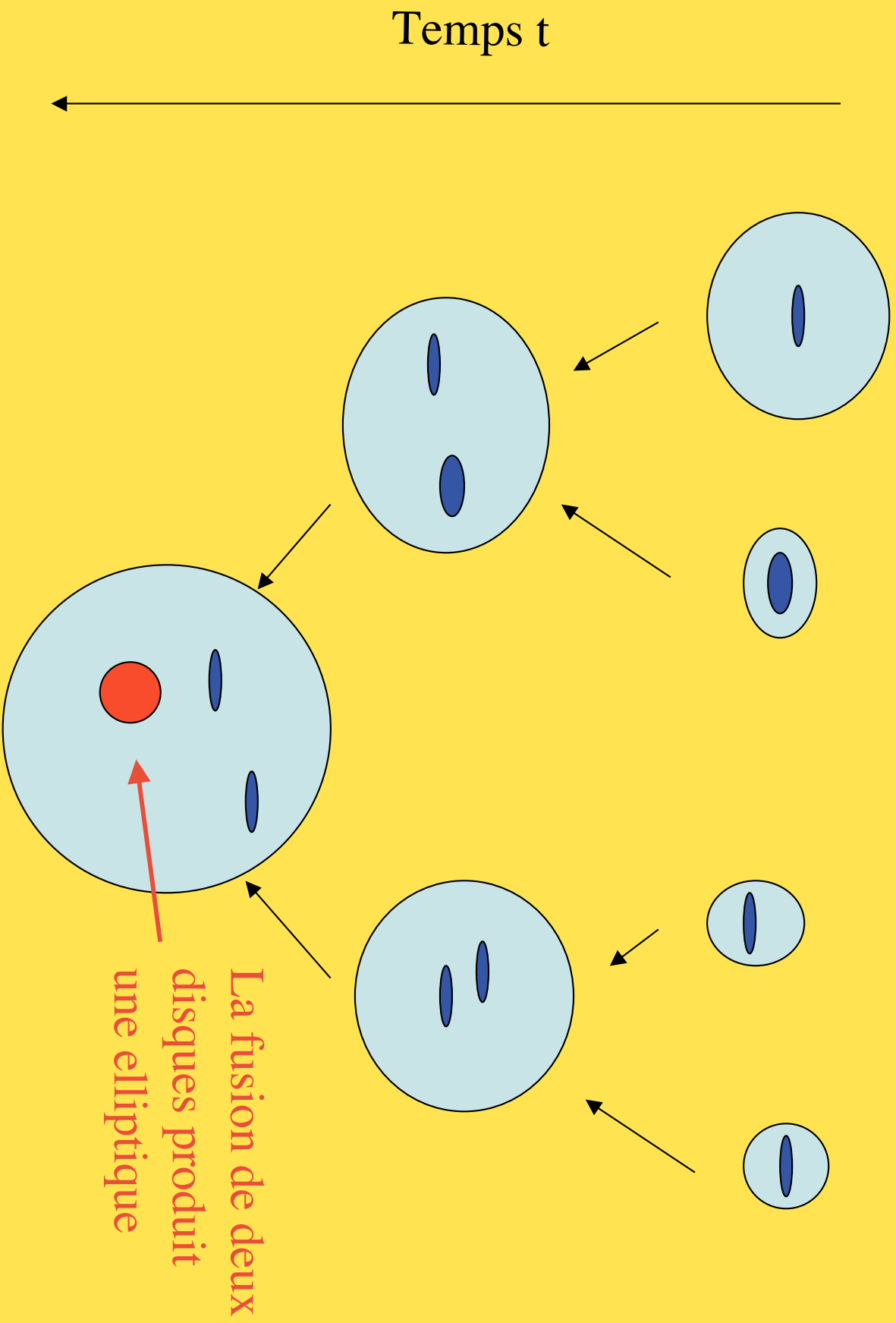
# Une galaxie : le sommet d'un iceberg de matière sombre



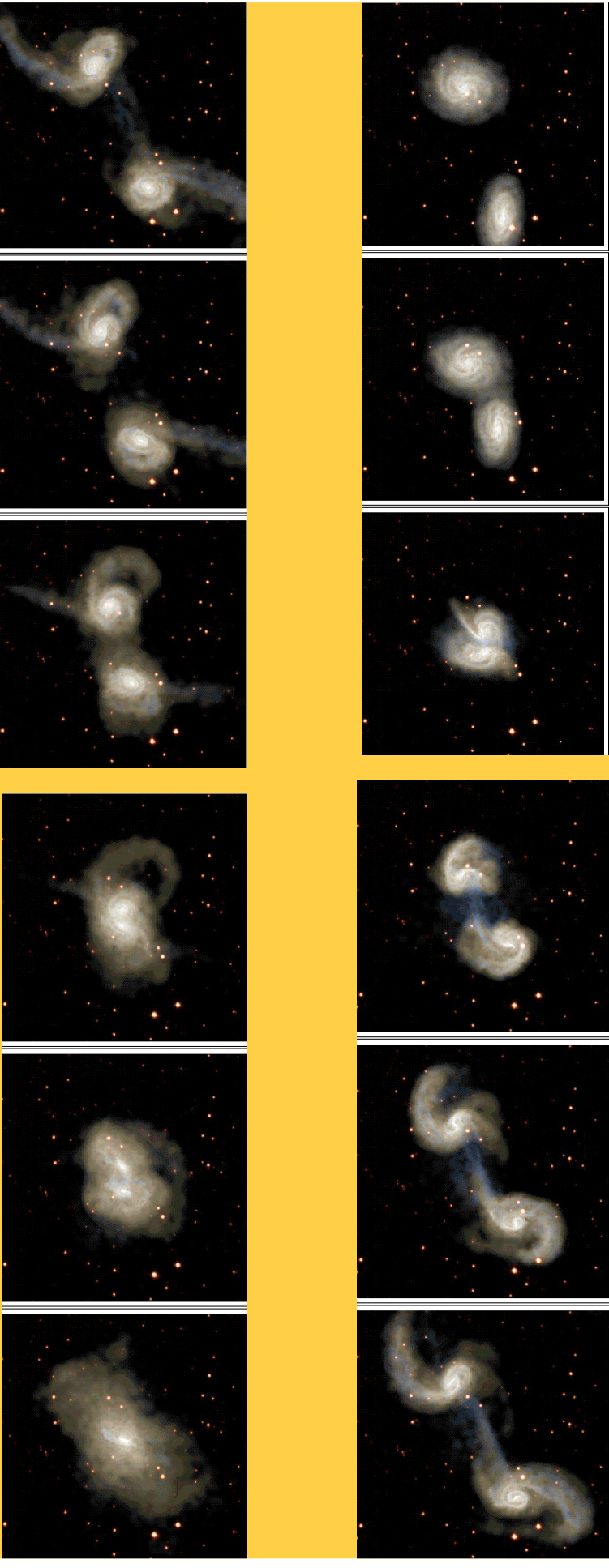
# Formation hiérarchique des structures de matière sombre



# Formation hiérarchique des galaxies



# Simulation numérique de fusion de deux galaxies à disque

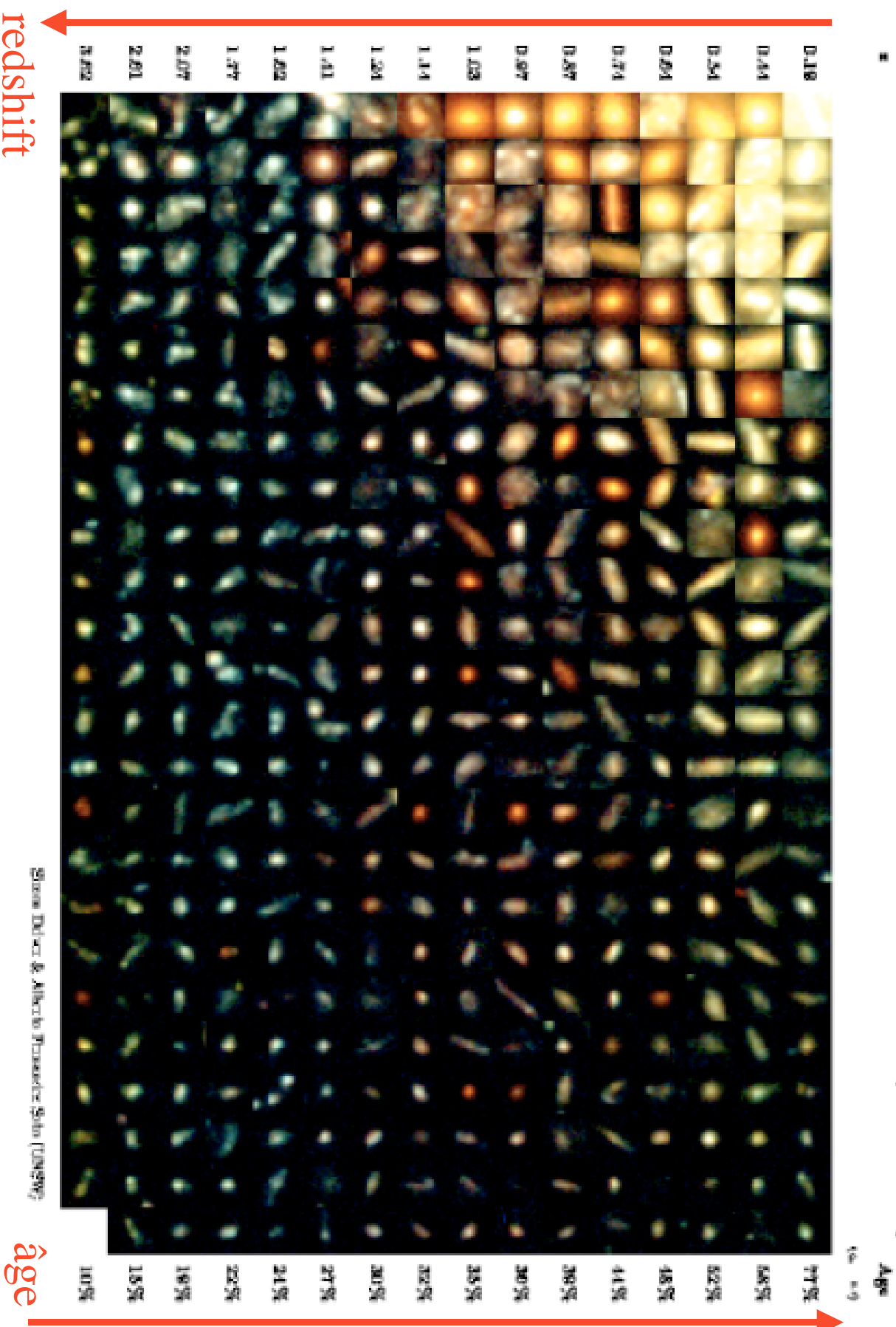


La fusion des disques de masse comparable produit un sphéroïde  
(galaxie elliptique, ou bulbe de galaxie spirale)

GADGET, Springel et al. 2001

# Une évolution morphologique des galaxies ?

## THE HUBBLE DEEP FIELD CORE SAMPLE ( $I < 26.0$ )



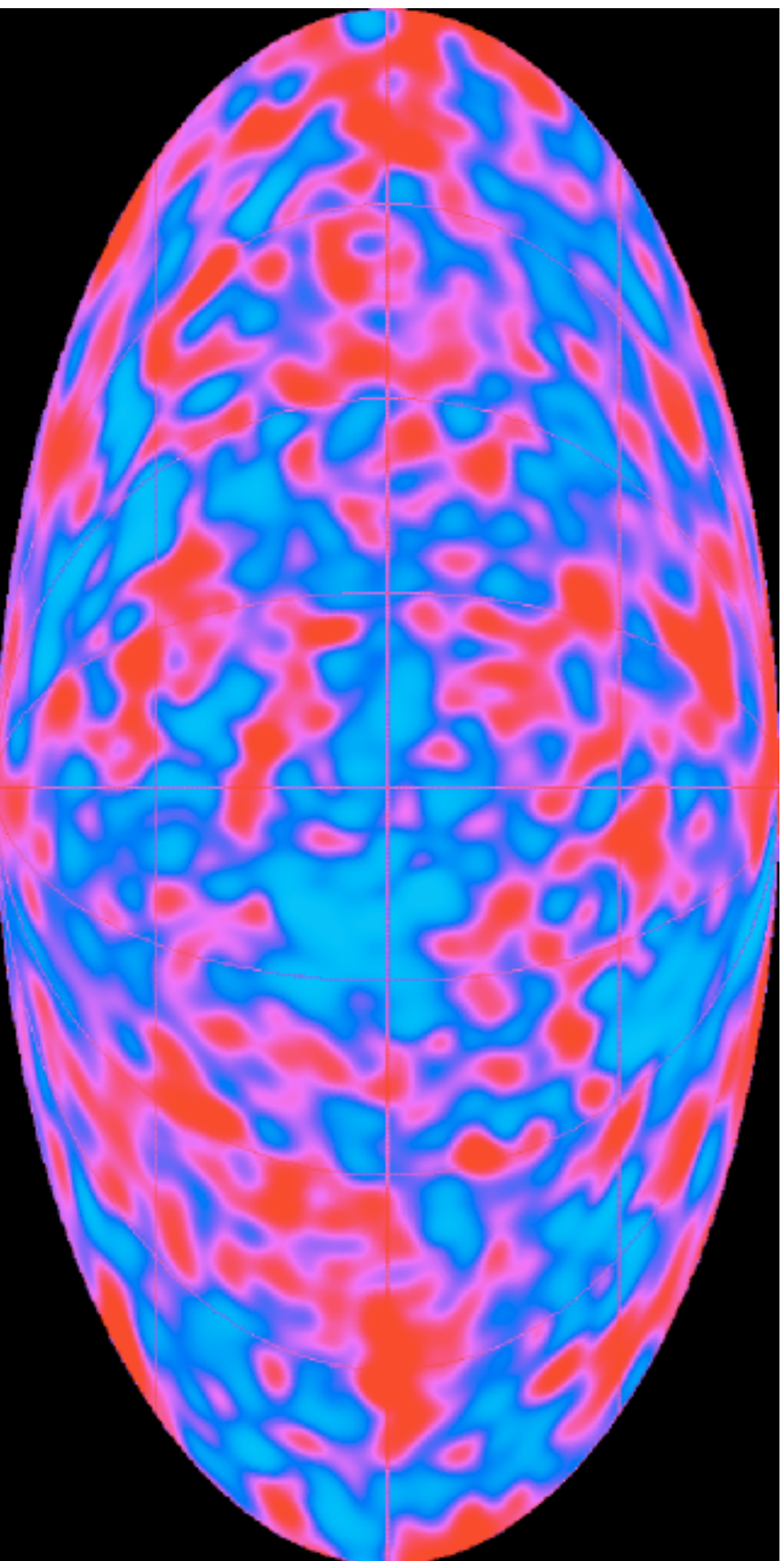
# Formation hiérarchique des galaxies

- La formation des galaxies n'est plus un *événement*: c'est un *processus*.
- Le «*redshift de formation*  $z_{for}$ » n'est plus défini de façon unique. La notion de «*galaxie primordiale*» devient plus floue.
- Les différents trajets évolutifs des galaxies doivent expliquer les corrélations entre propriétés : *moyennes* et *dispersions*.
- N.B. La formation hiérarchique est un *cadre général* (un «paradigme») dans lequel différents modèles physiques pour le devenir des baryons et la physique des galaxies sont possibles (refroidissement du gaz, formation d'étoiles, etc.).
- La séquence de Hubble évolue fortement.
- *Le test crucial est la formation des elliptiques*.

Génération et croissance linéaire  
des perturbations de matière  
sombre

Specre de puissance  $P(k)$  du champ  
de fluctuation aléatoire gaussien

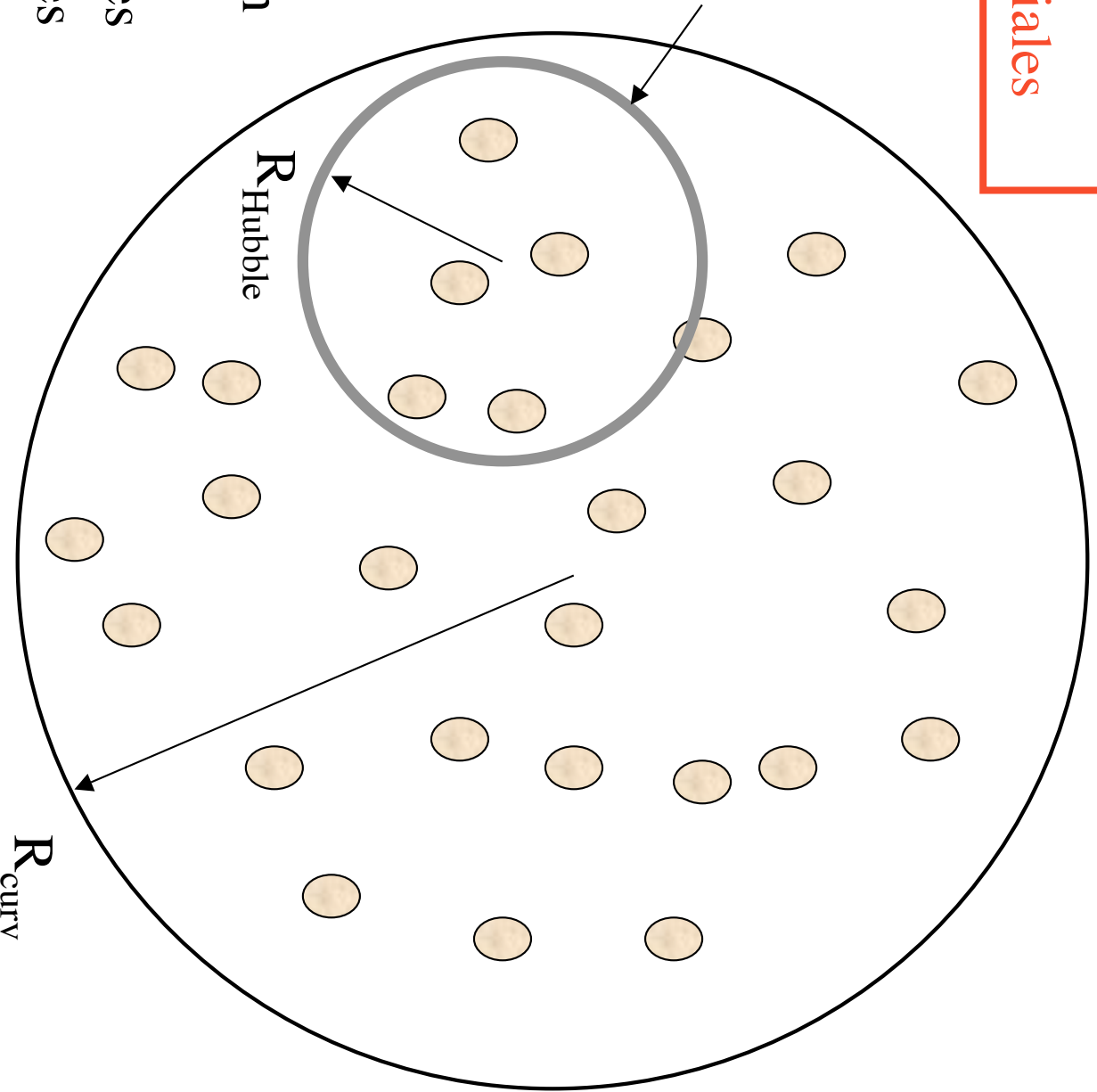
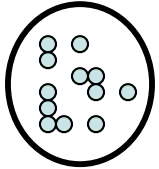
Une carte des anisotropies du fond diffus cosmologique (CMB)  
obtenue avec l'instrument DMR du satellite COBE



$$Q \equiv \frac{\Delta T}{T} \approx 10^{-5}$$

La génération des fluctuations primordiales

Notre univers observable de faible courbure spatiale



A  $t=10^{-35}$  s, l'inflation étire les fluctuations quantiques jusqu'à des tailles macroscopiques

$R_{\text{curv}}$

$$P(k) \equiv |\delta_k|^2$$

$$k^n$$

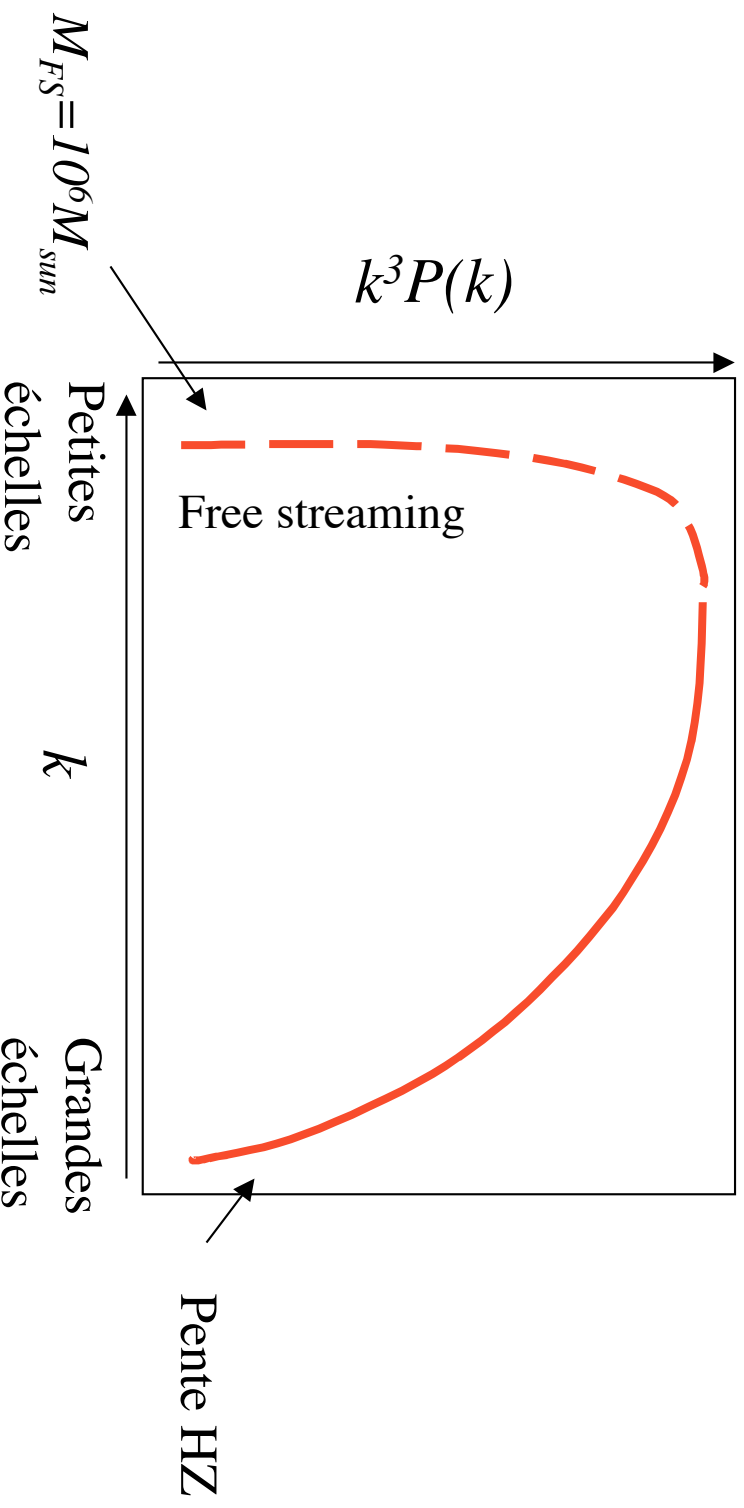
Harrison-Zel'dovich :  $n = 1$

Normalisation

$$P(k) = AkT(k)^2 k^m$$

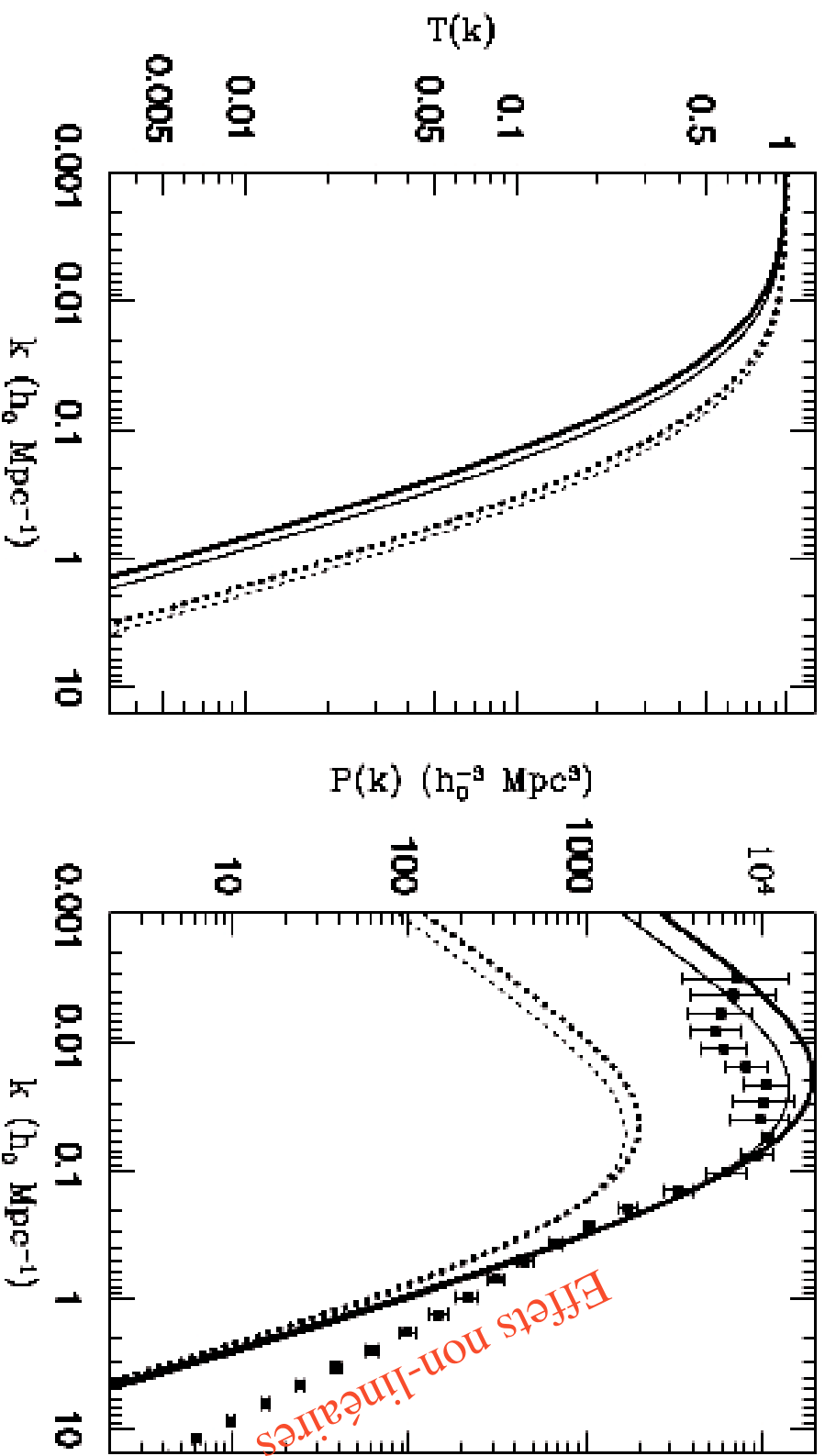
Fonction de transfert

Cold Dark Matter :  $\Omega_m \approx 0.3$  &  $M_{FS} = 10^6 M_{sun}$



Données : galaxies APM, avec  
une normalisation  $\Omega_{8/h} = 1$  (i.e.  
biais linéaire  $b=1$ )

$$P(k) = AkT(k)^2 k^m$$



□  $b_{\text{bar}}=0$  (traits épais) ou  
 $0.02h^{-2}$  (traits fins)

Pointillés: SCDM. Traits pleins: LCDM

## Comment les perturbations de densité croissent

Quand aucun processus ne peut lutter contre l'attraction gravitationnelle, par exemple lorsque la taille de la perturbation est plus grande que le rayon de Hubble

$$\delta_{pert} > d_H(t) \equiv \frac{a \dot{a}}{a} \equiv \frac{1}{H(t)}$$

Fond: 
$$H_{back}^2 = \frac{8\pi G}{3} \rho_{back}$$

Perturbation: 
$$H_{pert}^2 + \frac{1}{a_{pert}^2} = \frac{8\pi G}{3} \rho_{pert}$$

A un temps tel que:

$$H_{pert} = H_{back} \quad \rho_{pert} \rho_{back} = \frac{8\pi G \rho_{back} a_{pert}^2}{3} \quad \rho_{back} = \frac{8\pi G \rho_{back} a_{back}^2}{3}$$

$t < t_{eq}$	$\rho_{back}$	$a^{4}$	$\rho$	$a^2$
$t > t_{eq}$	$\rho_{back}$	$a^3$	$\rho$	$a$

Comment les perturbations de densité ne croissent pas

$$\lambda_{pert} < d_H(t)$$

1) Quand les forces de pression de la composante perturbée dépassent l'attraction gravitationnelle de la composante dominante

$$\frac{\lambda_{pert}}{v_{pert}} \lambda_{press} < t_{grav} \lambda_{dom} \frac{1}{(G \lambda_{dom})^{1/2}}$$

$$\lambda_{pert} < \lambda_J \equiv \sqrt{\lambda} \frac{v_{pert}}{(G \lambda_{dom})^{1/2}}$$

Longueur de Jeans

2) Quand l'expansion du fond régie par la composante dominante est plus rapide que le collapse de la composante perturbée

$$t < t_{eq} \quad t_{exp} \lambda_{press} < t_{grav} \lambda_{DM} \frac{1}{(G \lambda_{DM})^{1/2}} < t_{press} \lambda_{pert} \frac{1}{v_{pert}}$$

Cela arrive avant l'équivalence, dans la phase dominée par la radiation

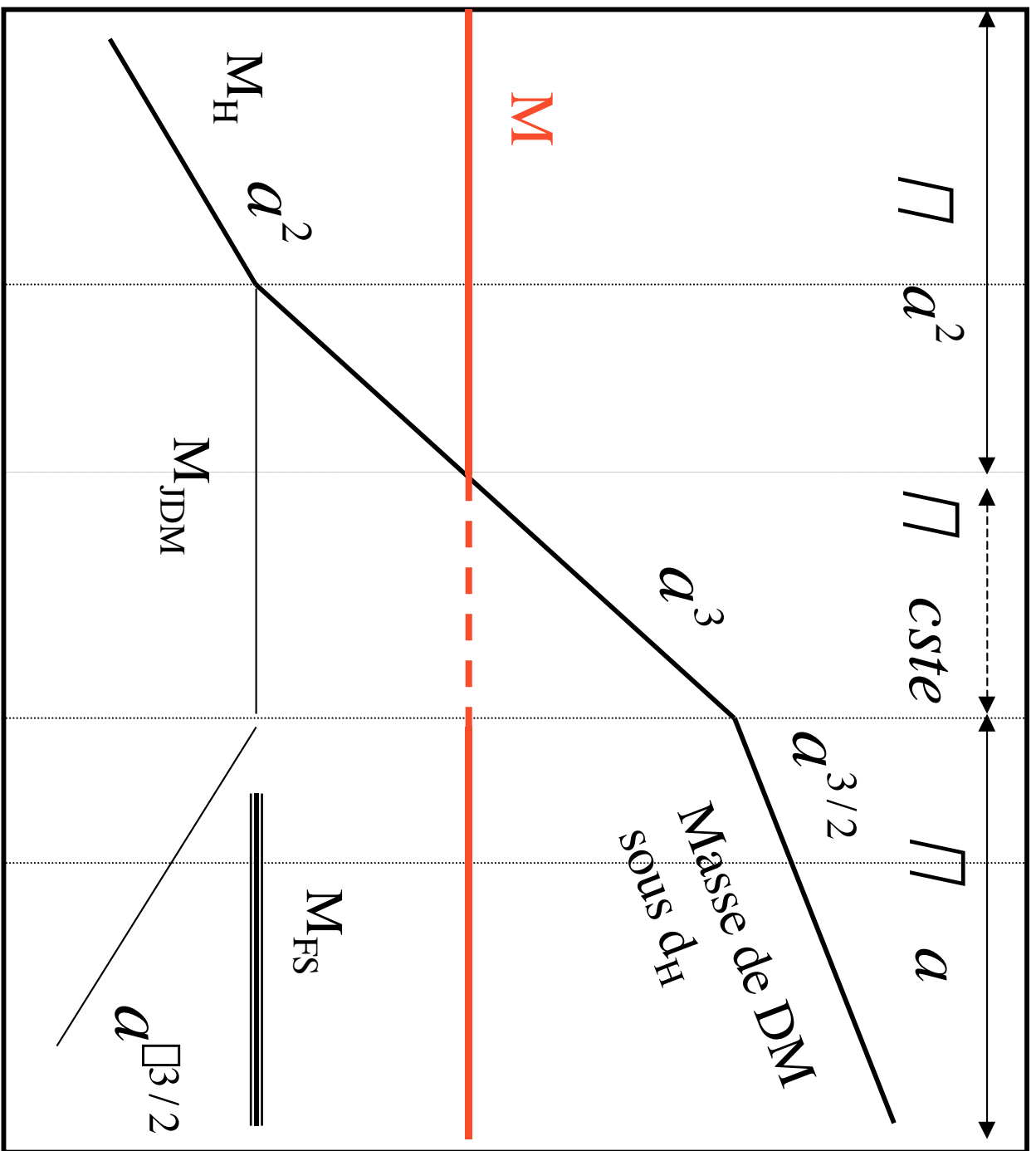
# Variations de la masse de Hubble et de la masse de Jeans

	$\square_{DM}$	$\square_R$	$d_H$	$M_{HDM}$	$\square_J$	$V_{DM}$	$M_{JDM}$
$t < t_{nr}$	$a^{-4}$	$a^{-4}$	$a^2$	$a^2$	$a^2$	1	$a^2$
$t_{nr} < t < t_{eq}$	$a^{-3}$	$a^{-4}$	$a^2$	$a^3$	$a$	$a^{-1}$	cte
$t_{eq} < t$	$a^{-3}$	$a^{-4}$	$a^{3/2}$	$a^{3/2}$	$a^{1/2}$	$a^{-1}$	$a^{-3/2}$

$$M_{HDM} = \frac{4\square}{3} d_H^3 \square_{DM}$$

$$M_{JDM} = \frac{4\square}{3} \square_J^3 \square_{DM}$$

Log Mass



Croissance  
des  
perturbations  
de matière  
sombre (DM)

$a_{nr}$   $a_{enter}$   $a_{eq}$   $a_{dec}$  Log a

**Croissance linéaire des  
perturbations de matière sombre**

**Univers dominé par la matière (MD)**

$A \ t > t_{eq}$

$$\frac{\partial \square}{\partial t} + \frac{\partial}{\partial \vec{r}} (\square \vec{u}) = 0$$

Equation de continuité

$$\frac{\partial \vec{u}}{\partial t} + u \cdot \frac{\partial \vec{u}}{\partial \vec{r}} = \square \frac{\partial \square}{\partial \vec{r}}$$

Equation d'Euler

$$\square \square = 4 \square G \square \square \square$$

Equation de Poisson

Passage des coordonnées physiques aux coordonnées comobiles

$$\vec{r} = a \vec{x}$$

$$\vec{u} = \frac{da}{dt} \vec{x} + \vec{v} = \dot{a} \vec{r} + \vec{v}$$

## En coordonnées comobiles

$$\frac{\partial \rho}{\partial t} + \frac{3\dot{a}}{a} \rho + \frac{1}{a} \frac{\partial}{\partial x^i} (\rho v^i) = 0$$

Equation de  
continuité

$$\frac{\partial \vec{v}}{\partial t} + \frac{1}{a} \frac{\partial \vec{v}}{\partial x^i} v^i + \frac{\dot{a}}{a} \vec{v} = \frac{1}{a} \frac{\partial \rho}{\partial x^i} \left[ \right]$$

Equation d'Euler

$$\frac{1}{a^2} \partial_x^i \partial_x^i \rho = 4 \rho G - \rho \frac{\ddot{a}}{a}$$

Equation  
de Poisson

$$\partial_x^i \partial_x^i \rho + \frac{1}{2} a \ddot{a} x^{\rightarrow 2}$$

## Linéarisation

$$\square = \square_b (1 + \square)$$

$$\square \ll 1$$

Avec :

$$\ddot{a} = \frac{4 \square G \square_b a}{3} + \frac{\square}{3} a$$

$$\frac{\partial \square}{\partial t} + \frac{1}{a} \frac{\partial v}{\partial x} = 0$$

Equ. A

$$\frac{\partial^2 \square}{\partial t^2} + 2 \frac{\dot{a}}{a} \frac{\partial \square}{\partial t} = 4 \square G \square_b \square$$

Equ. B

$$\square_x \square \square = 4 \square G \square_b a^2 \square$$

Equ. C

On obtient deux solutions, l'une décroissante, l'autre croissante :

$$D_d[z] = H_0 [\Omega_0 (1+z)^3 + (1-\Omega_0) \Omega_0] (1+z)^2 + \Omega_0^{1/2}$$

$$D_c[z] = \frac{D_d[z]}{a_0^2} \int \frac{(1+w)}{D_d^3[w]} dw$$

Si, à l'instant initial  $t_i$ , la vitesse particulière est nulle :

$$D[z] = \left\{ \frac{3}{2} \Omega_0 (1+z_i) + 1 - \Omega_0 \right\} H_0^2 a_0^2 D_c[z] D_i$$

Ex. Pour un univers Einstein-deSitter  $\Omega_0=1$ ,  $\Omega_0=0$  dominé par la matière (MD), on peut essayer, dans l'équation B :  $D \propto t^{\Omega_0}$

Et l'on trouve deux modes, l'un croissant, l'autre décroissant :

$$D_c \propto t^{2/3} \quad a \quad (1+z)^{\Omega_0} \quad \text{Mode croissant}$$

$$D \propto 1$$

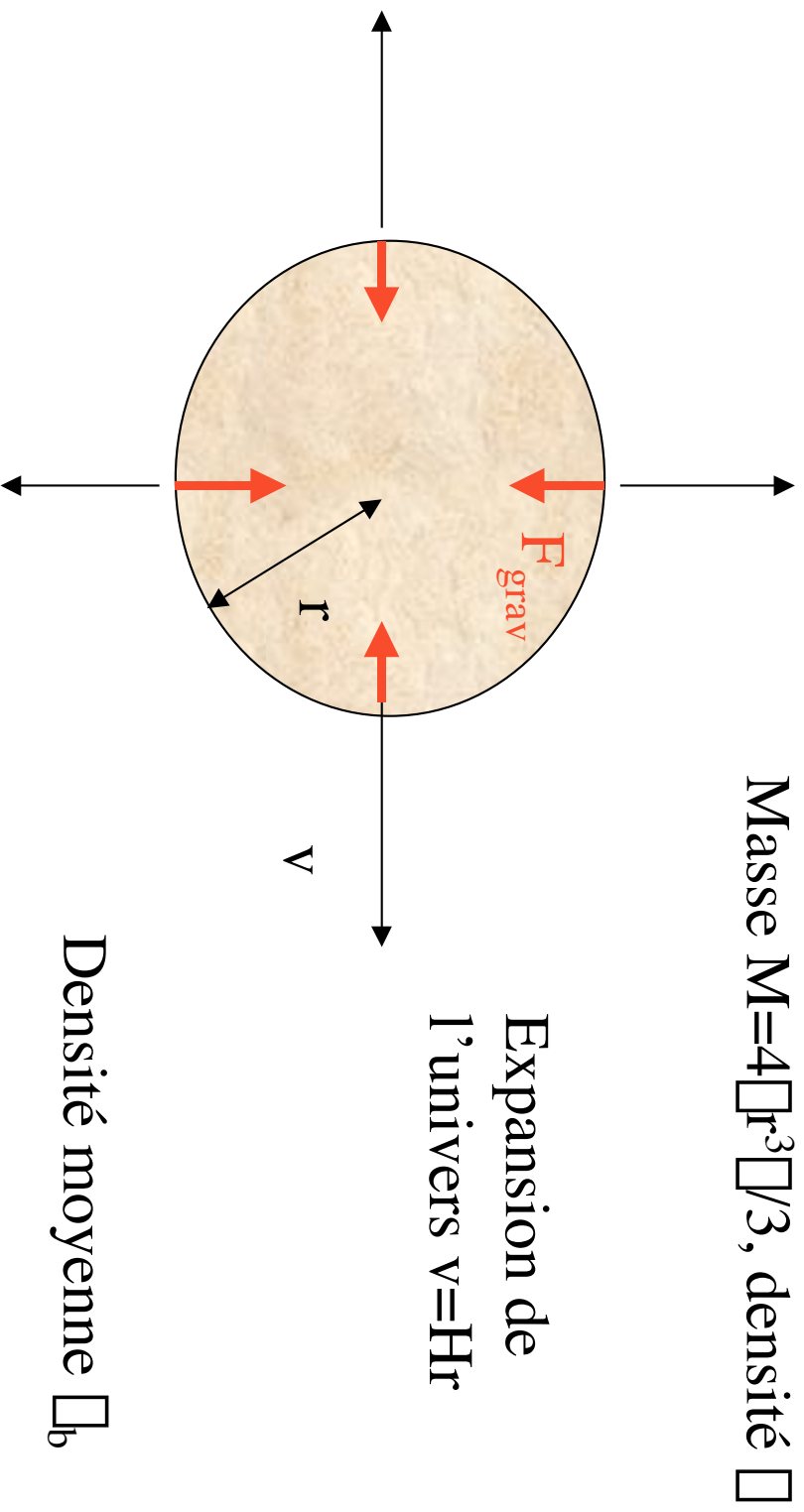
$$D[z] = \frac{3}{5} \frac{1+z_i}{1+z} D_i$$

# Croissance non-linéaire des perturbations

Perturbation sphérique et homogène

(Le modèle dit *top hat* ou «du chapeau  
haut-de-forme»)

# L'amplification gravitationnelle des perturbations initiales



Si le contraste de densité  $\Delta = (\bar{\rho}_b/\rho_b) / \bar{\rho}_b > \rho_{\text{crit}}$ , **collapse**

Couche sphérique

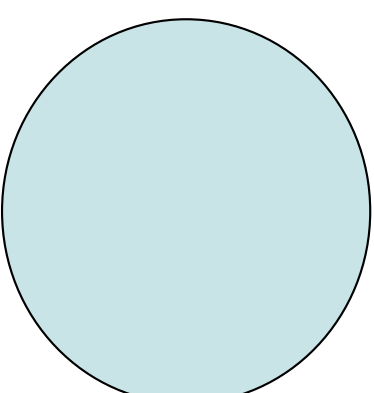
externe

$$\frac{1}{2} \frac{dr}{dt} \Big|_{t=t_i}^2 - \frac{GM}{r} = E$$

Conditions initiales  
 $r=r_i$  à  $t=t_i$

$$K_i = \frac{1}{2} \frac{dr}{dt} \Big|_{t=t_i}^2 = \frac{H_i^2 r_i^2}{2}$$

$$U_i = \frac{GM}{r} \Big|_{t=t_i} = \frac{1}{2} H_i^2 r_i^2 \Omega_i (1 + \Omega_i) = K_i \Omega_i (1 + \Omega_i)$$



D'où  $E = K_i \Omega_i [\Omega_i (1 + \Omega_i)]$

$$E < 0 \quad \text{si} \quad \Omega_i > \frac{1}{\Omega_i} - 1$$

Rayon d'expansion

maximale  $r_m$  au temps  $t_m$

$$\frac{dr}{dt} \Big|_{t=t_m} = 0$$

$$E = \frac{GM}{r_m} = \frac{r_i}{r_m} K_i \Omega_i (1 + \Omega_i)$$

D'où 
$$\frac{r_m}{r_i} = \frac{1 + \Omega_i}{\Omega_i (\Omega_i + 1)} \quad \text{Equ. 1}$$

## La solution de l'équation du mouvement est:

$$\begin{aligned} r &= A(1 - \cos \varphi) & r_m &= 2A \\ t + T &= B(\varphi - \sin \varphi) & t_m + T &= \varphi B \\ A^3 &= GMB^2 \end{aligned}$$

Ces équations fixent A, puis B:

Cas de l'univers plat,  $\Omega = 0$ :

$$\varphi = \frac{9}{2} \frac{(\varphi - \sin \varphi)^2}{(1 - \cos \varphi)^3} \Omega^2$$

Développement  
limité

$$\begin{aligned} \varphi &\approx \frac{3\Omega^2}{20} \\ t &\approx \frac{B\Omega^3}{6} \\ r &\approx \frac{A\Omega^2}{2} \end{aligned}$$

T fixé par les conditions  
initiales est très petit devant  $t_i$

$$\begin{aligned} A &= \frac{r_i}{2} \frac{1 + \Omega_i}{[\Omega_i - (\Omega_i^3 - 1)]} \\ B &= \frac{1 + \Omega_i}{2H_i \Omega_i^{1/2} [\Omega_i - (\Omega_i^3 - 1)]^{3/2}} \end{aligned}$$

**D'où les évolutions très simples:**

$$\square = \frac{3}{5} \square_i \frac{t}{t_i} \square_i^{2/3} = \frac{3}{5} \square_i \frac{1+z_i}{1+z}$$

$$r_m = \frac{r_i}{\square_i}$$

En définissant les grandeurs linéairement extrapolées à  $z=0$  :

$$R \equiv r_i \frac{a_0}{a_i} = r_i(1+z_i)$$

$$\square_0 \equiv \frac{3}{5} \square_i(1+z_i)$$

On obtient finalement :

$$(1+z_m) = \frac{5}{3} \frac{\square_0}{(3\square_0/4)^{2/3}}$$

$$\frac{r_m}{R} = \frac{3}{5\square_0}$$

## Effondrement, relaxation et virialisation du halo

Effondrement dans un temps de collapse égal au temps d'expansion. D'où  $t_{coll} = 2t_m$

**Relaxation** : formation d'un potentiel moyen vu par toutes les particules

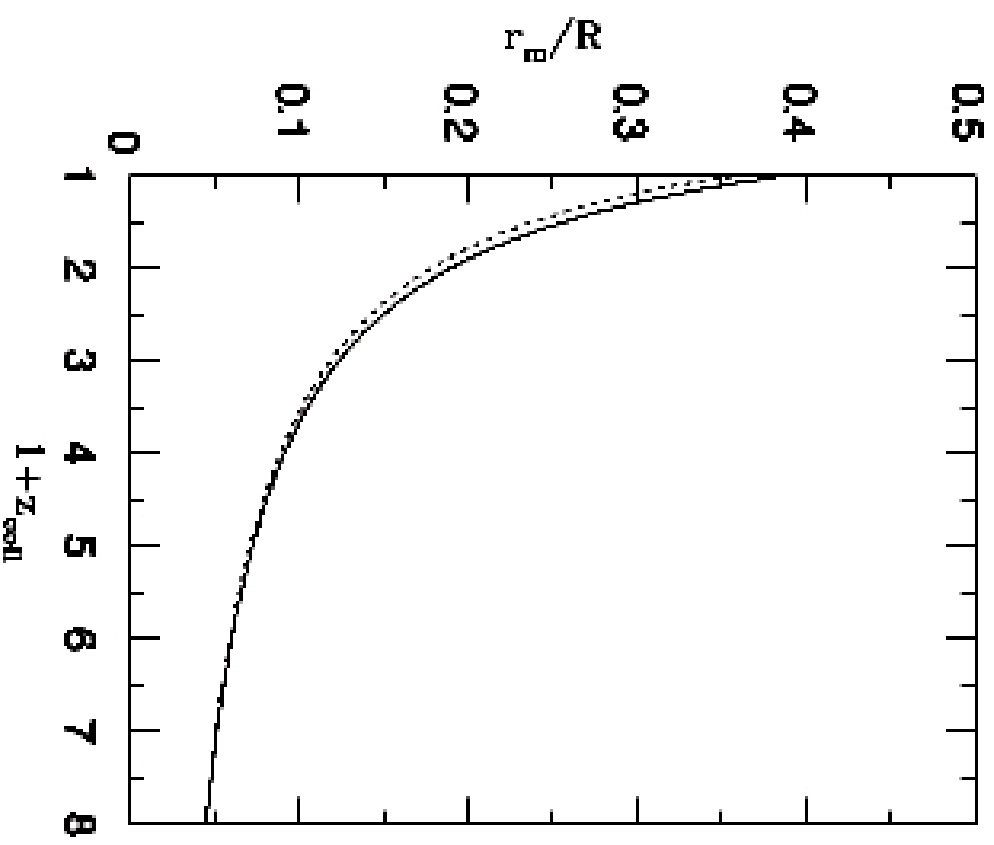
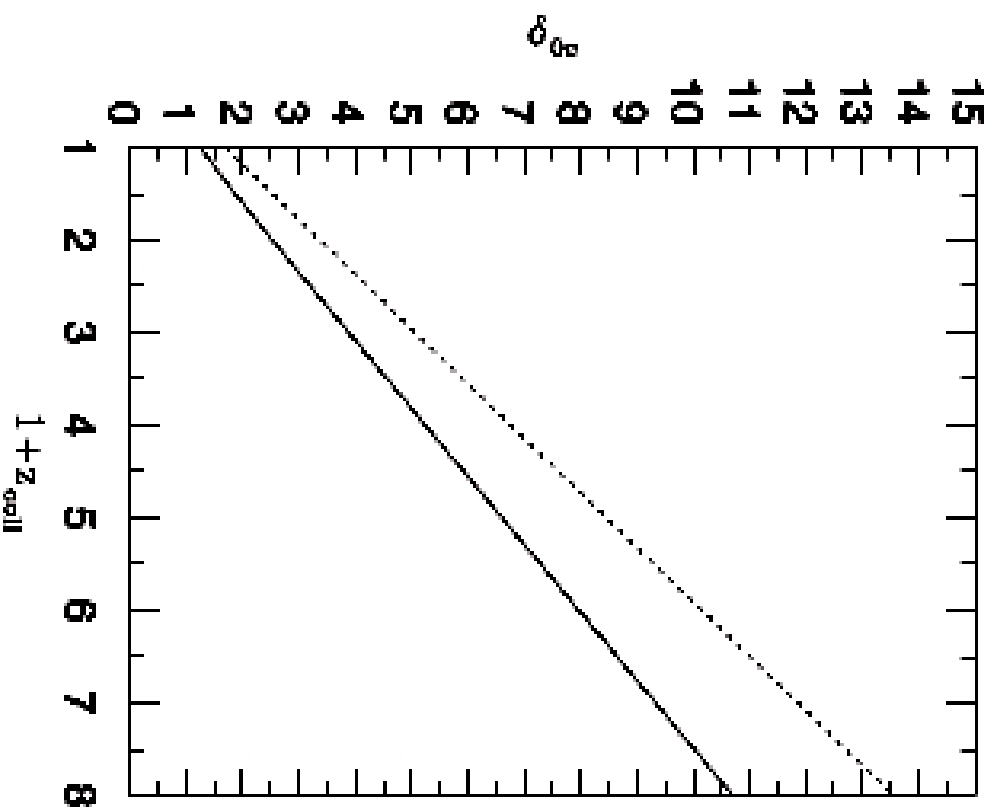
**Virialisation** :  $2K_V + U_V = 0$

$E = E_V = U_V + K_V = U_V/2$  implique que le rayon du halo vaut la moitié du rayon d'expansion maximale

$$(1 + z_{coll}) = (1 + z_m) \frac{t_m}{t_{coll}} \frac{a_m^{2/3}}{a_{coll}^{2/3}} = \frac{a_b}{(3a_b/2)^{2/3}} \frac{3/5}{3/5}$$
$$r_V = \frac{1}{2} r_m = \frac{3R}{10a_b}$$

Seuil en contraste de densité  
linéairement extrapolé

Rayon d'expansion  
maximum



Pointillés:  $h_0=0.5$ ,  $\square_0=1$ ,  $\square_0=0$ . Traits pleins  $h_0=0.67$ ,  $\square_0=1/3$ ,  $\square_0=2/3$ .

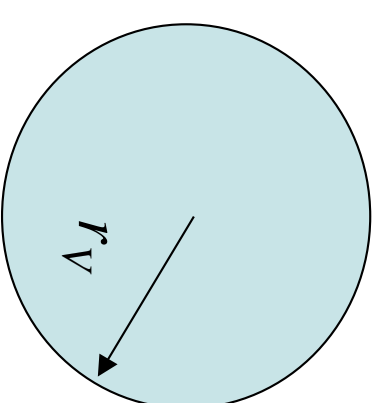
# Le modèle de la sphère isotherme singulière tronquée

Exemple univers plat,  $\Omega = 0$

$$M = \frac{4}{3} \pi R^3 \rho_b$$

suffisent à définir la structure

Halo de matière sombre relaxé et virialisé



$$1 + z_{coll} = \frac{\rho_b}{\rho_c}$$

$$\rho(r) = \frac{V_c^2}{4\pi G r^2} \quad r < r_V$$

$$\rho_c = 1.686$$

$$\frac{r_V}{R} = \frac{3}{10 \rho_b}$$

$$\rho = \frac{3M}{4\pi r_V^3} = \rho_b \frac{R}{r_V} \Rightarrow \frac{10 \rho_c}{3} \rho_b (1 + z_{coll})^3$$

$$V_c = \frac{GM}{r_V} \Rightarrow \frac{5}{3} H_0 R \rho_b^{1/2}$$

$$T_V = \frac{\rho_b m_p}{2k} V_c^2$$

## Halos de matière sombre : ordres de grandeur

$$r_V = 258(1 + z_{coll})^{\Omega_b} \frac{M}{10^{12} M_{sun}}^{1/3} h_{50}^{\Omega_b^{2/3}} \text{ kpc}$$

$$V_c = 100(1 + z_{coll})^{1/2} \frac{M}{10^{12} M_{sun}}^{1/3} h_{50}^{1/3} \text{ kms}^{\Omega_b}$$

$$T_V = 2.32 \Omega_b^{10^5} (1 + z_{coll}) \frac{M}{10^{12} M_{sun}}^{2/3} h_{50}^{2/3} K$$

$$\Omega_b = 176 \Omega_b (1 + z_{coll})^3$$

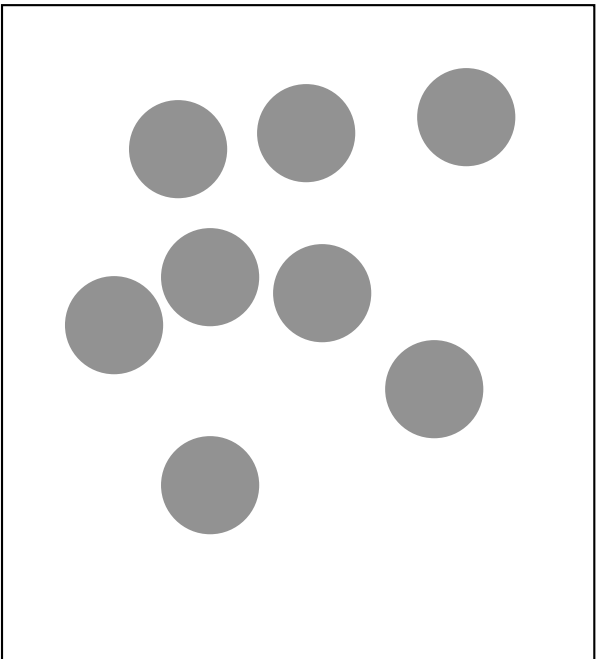
Univers plat,  $\Omega_b = 0$ , mais faible dépendance en  $\Omega_b$  et  $\Omega_b$ .

# Fonction de masse des structures collapsées

Le formalisme de Press et Schechter

Champ gaussien de fluctuations

linéaires de densité



Quelle est la fraction de masse totale sous forme d'objets de masse  $M$  ayant collapsé au redshift  $z$  ?

$$f(M) = \frac{1}{\sqrt{2\pi} \sigma_z(M)} \int \exp\left[-\frac{1}{2} \left(\frac{\sigma}{\sigma_z(M)}\right)^2\right] d\sigma$$

Fluctuation relative de densité

$$\sigma \equiv \frac{\delta_b}{\sigma_0(M)}$$

$$\sigma_0^2(M) \equiv \langle \delta_b(M)^2 \rangle$$

$$\sigma_z(M) \equiv \frac{\sigma_c(1+z)}{\sigma_0(M)}$$

Variation du champ lissé sur l'échelle de masse  $M$

Seuil pour le collapsé au redshift  $z$

$$\sigma^2(M) = \frac{1}{2\pi} \int d^3k P(k) |W_k(R)|^2$$

Univers plat,  $\Omega = 0$

Nombre d'objets de masse  $[\ln M, \ln M + d \ln M]$  par unité de volume comobile

$$n(M, z) d \ln M = \frac{\square_b}{M} \left| \frac{df(M)}{d \ln M} \right| d \ln M$$

$$\frac{\square_b}{M} \left| \frac{df(M)}{d \square_z(M)} \right| \frac{|\square_z(M) d \ln \square_z(M)|}{d \ln M} d \ln M$$

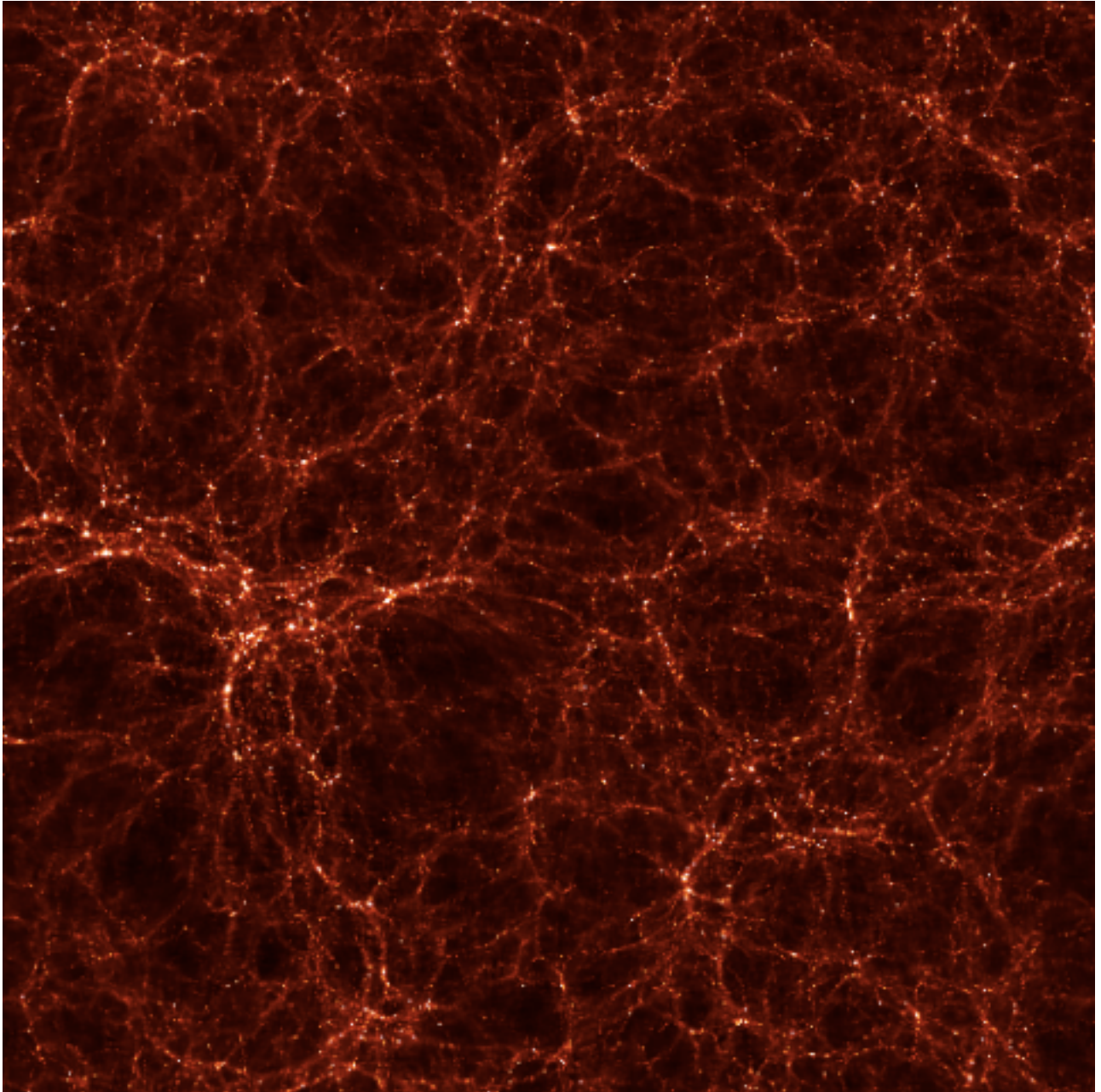
$$\frac{1}{\sqrt{2 \square}} \frac{\square_b}{M} \square_z(M) \exp \left[ \frac{1}{2} \square_z(M) \right]^2 \left| \frac{d \ln \square_0(M)}{d \ln M} \right| d \ln M$$

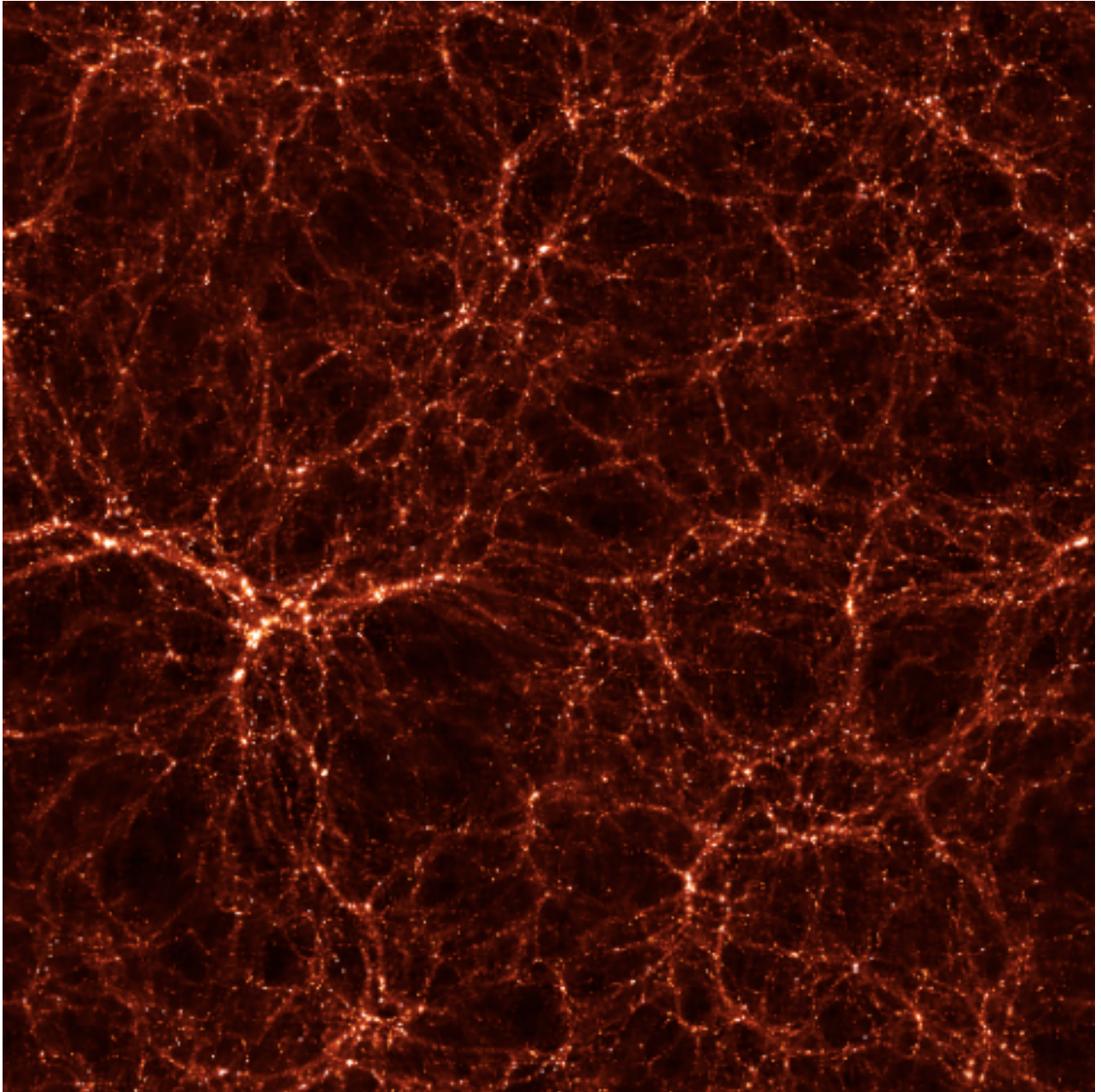
Fudge factor x 2 pour tenir compte de la matière dans les régions sous-denses

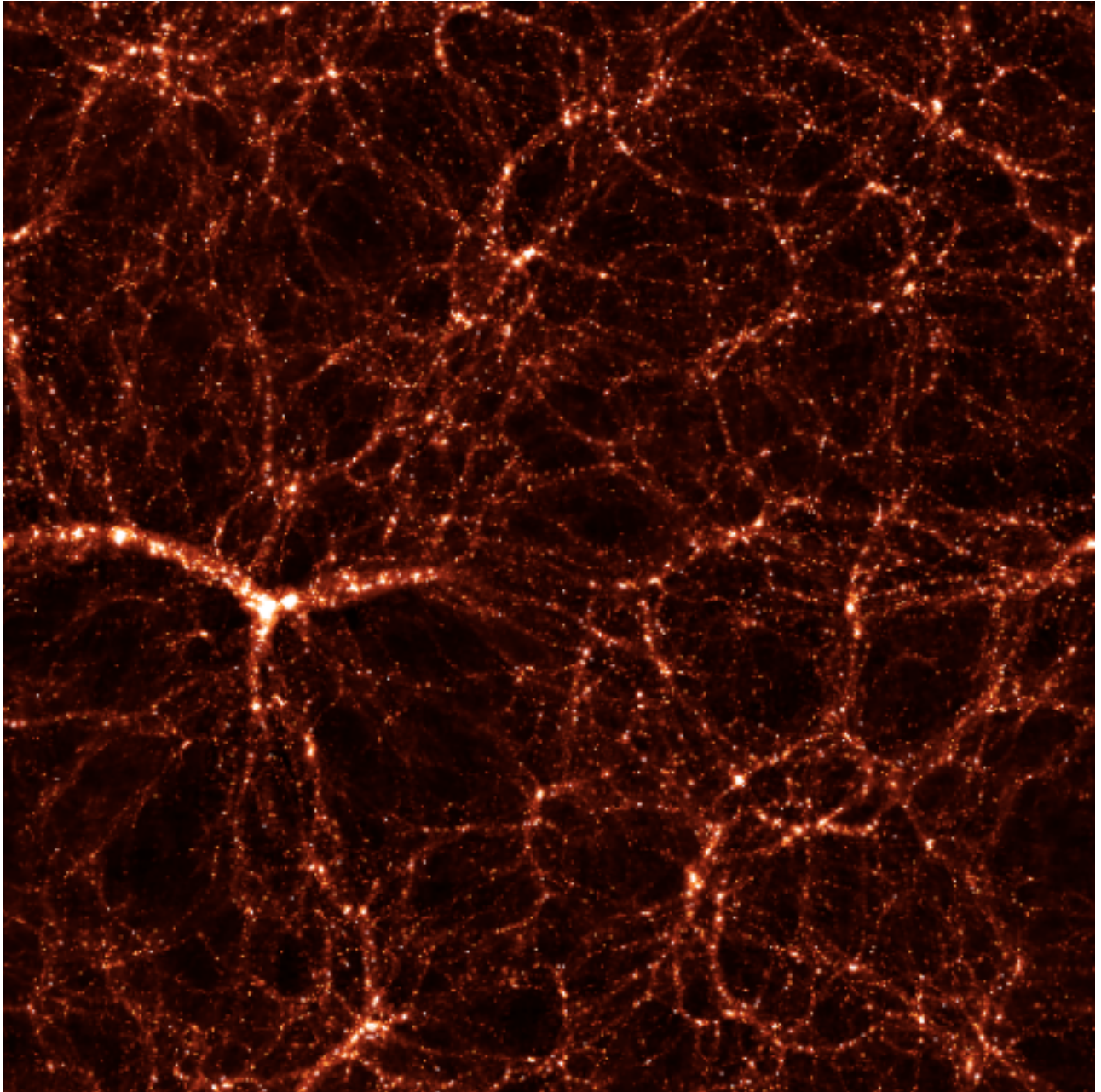
$$n(M, z) d \log M = \sqrt{\frac{2}{\square}} \frac{\square_b}{M} \square_z(M) \exp \left[ \frac{1}{2} \square_z(M) \right]^2 \left| \frac{d \log \square_0(M)}{d \log M} \right| d \log M$$

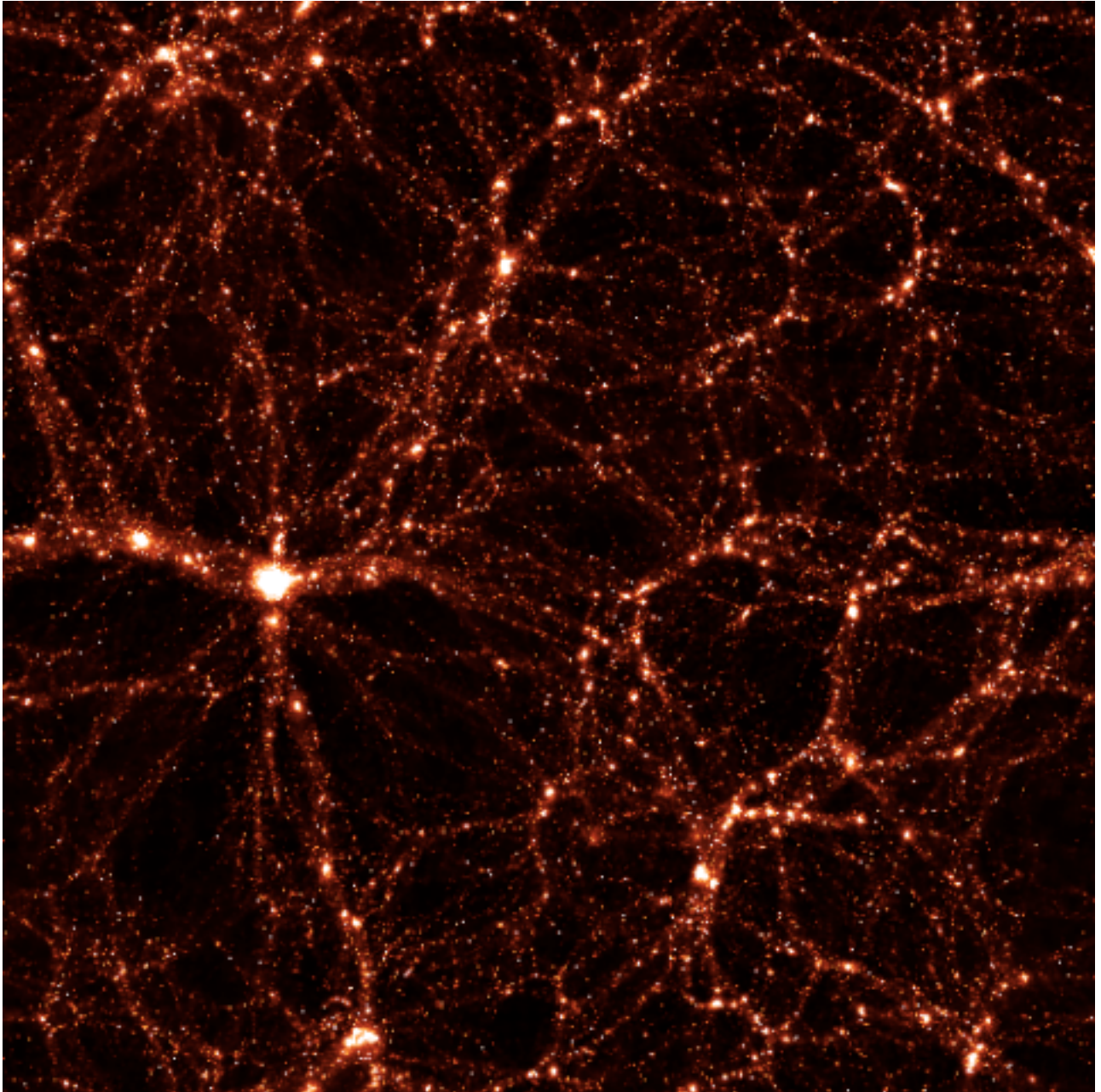
# Simulations à N-corps du collapse gravitationnel de la Matière Sombre

- Code en arbre parallèle tournant sur le CRAY T3E de l'IDRIS. ~50000 heures pour une simulation.
- Paramètres cosmologiques  $\Lambda$ CDM.
- $256^3$  particules dans une boîte cubique comobile de taille 150 Mpc; masse d'une particule  $m_{\text{par}}=8 \times 10^9 M_{\text{sun}}$
- 100 sorties. Les images suivantes montrent les sorties à  $z=3, 2, 1$  et 0, pour 1/10 de la boîte.

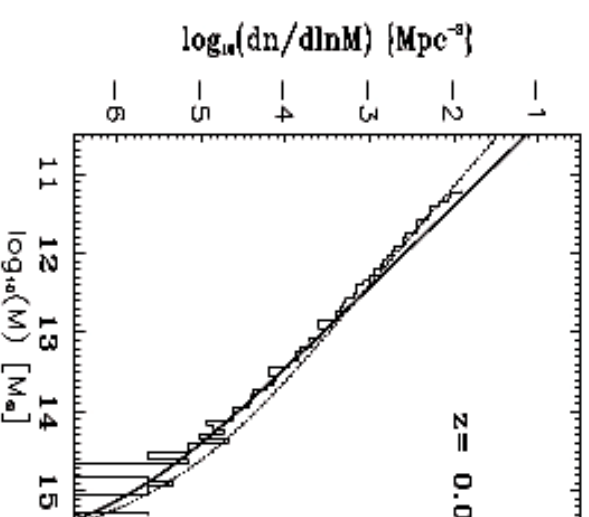
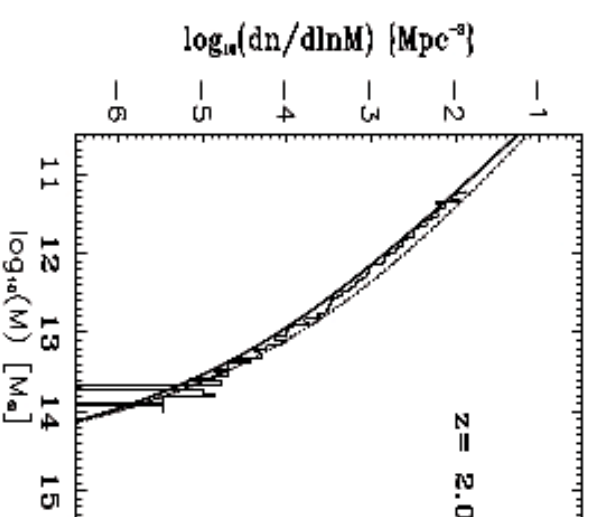
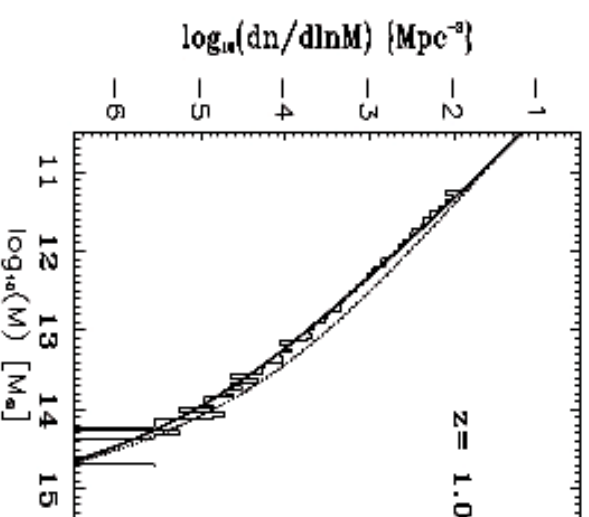
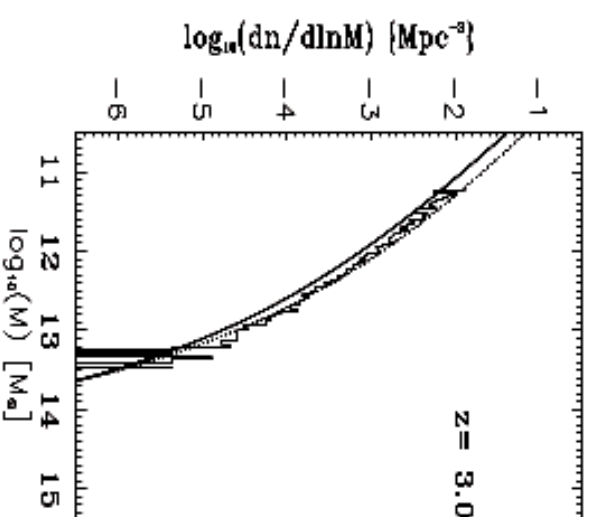




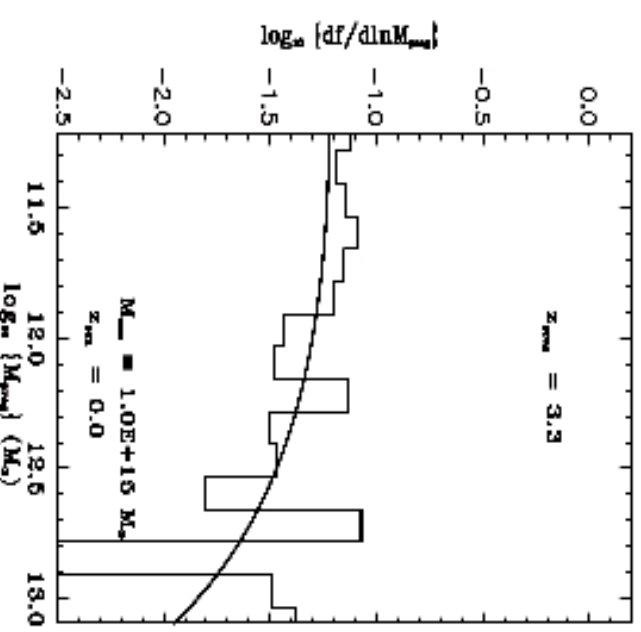
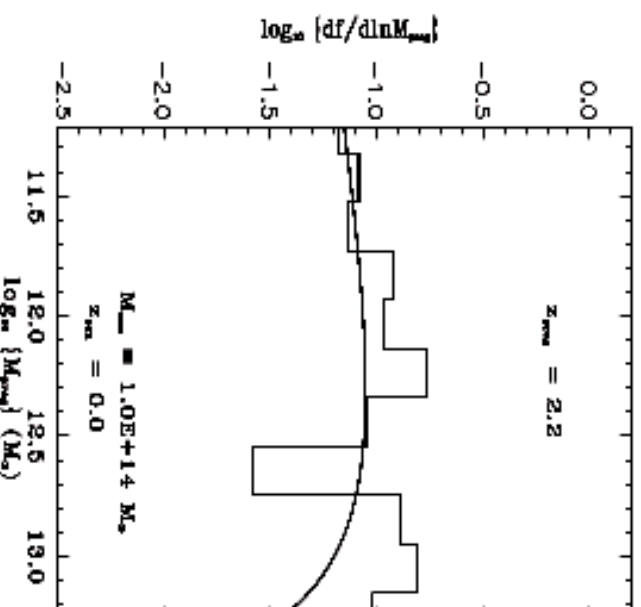
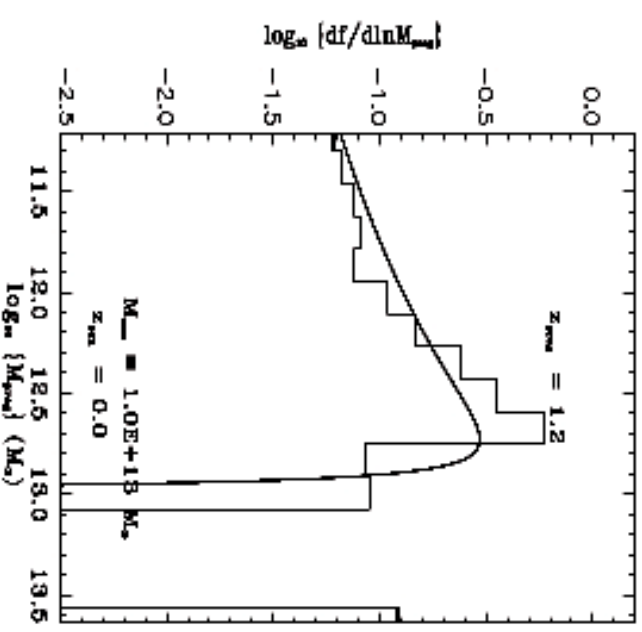
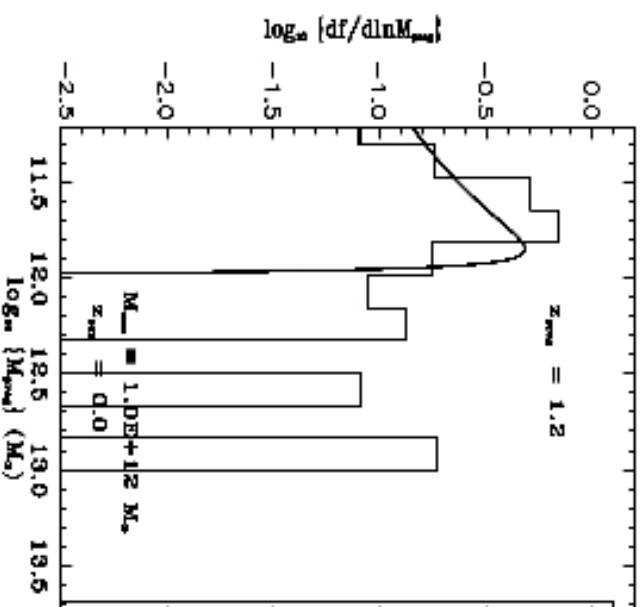




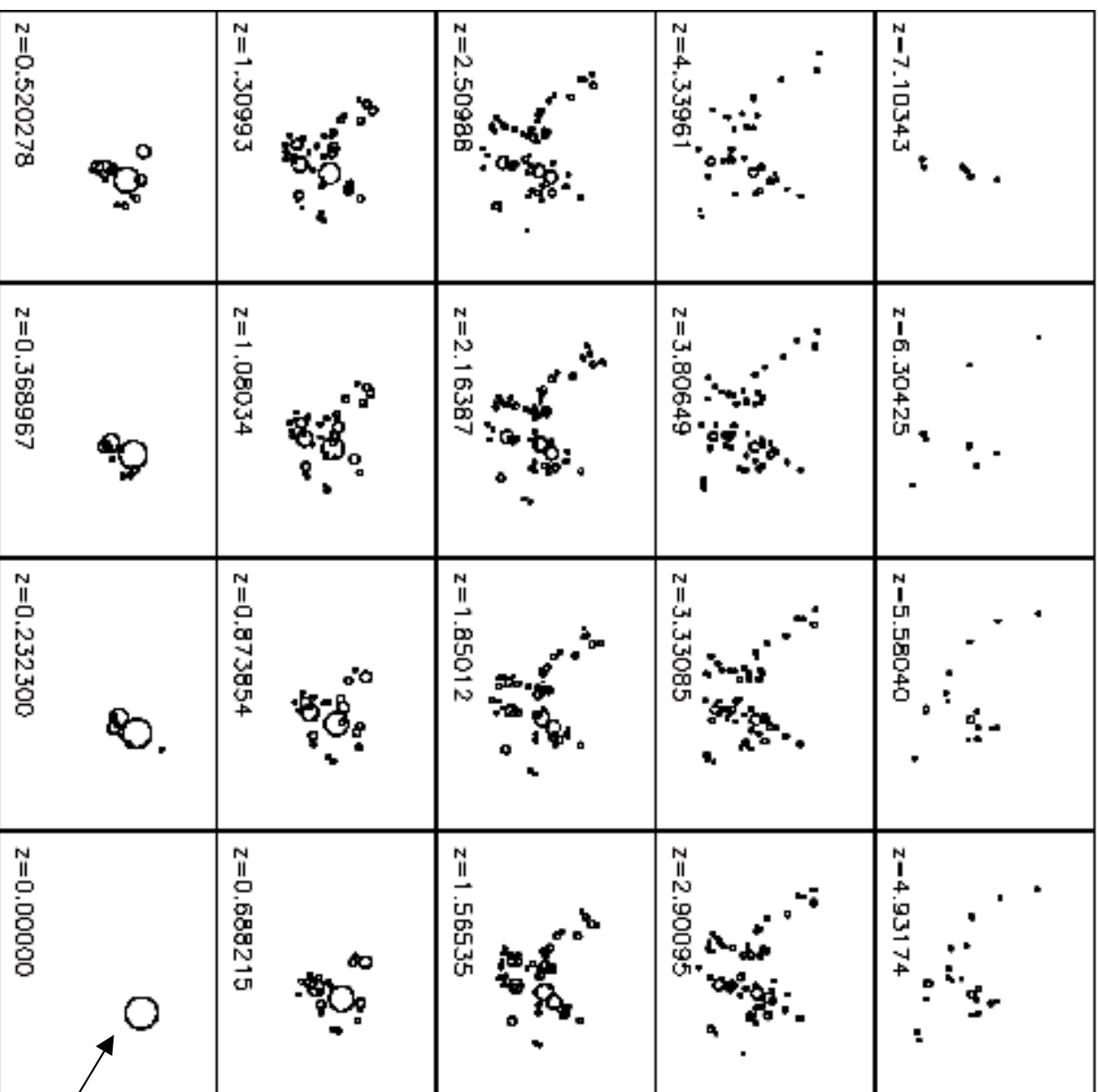
**Evolution de la  
fonction de masse  
issue de la  
simulation,  
comparée à la  
théorie des pics  
(traits pleins) et à  
Press-Schechter  
(pointillés)**  
(pointillés)



Fonction de masse des progéniteurs de halos de masses  $10^{12}$ ,  $10^{13}$ ,  $10^{14}$ , et  $10^{15} M_{\text{sun}}$  à  $Z=0$ , comparée à la prédiction du formalisme de Press-Schechter étendu



20  $h^{-1}$ Mpc



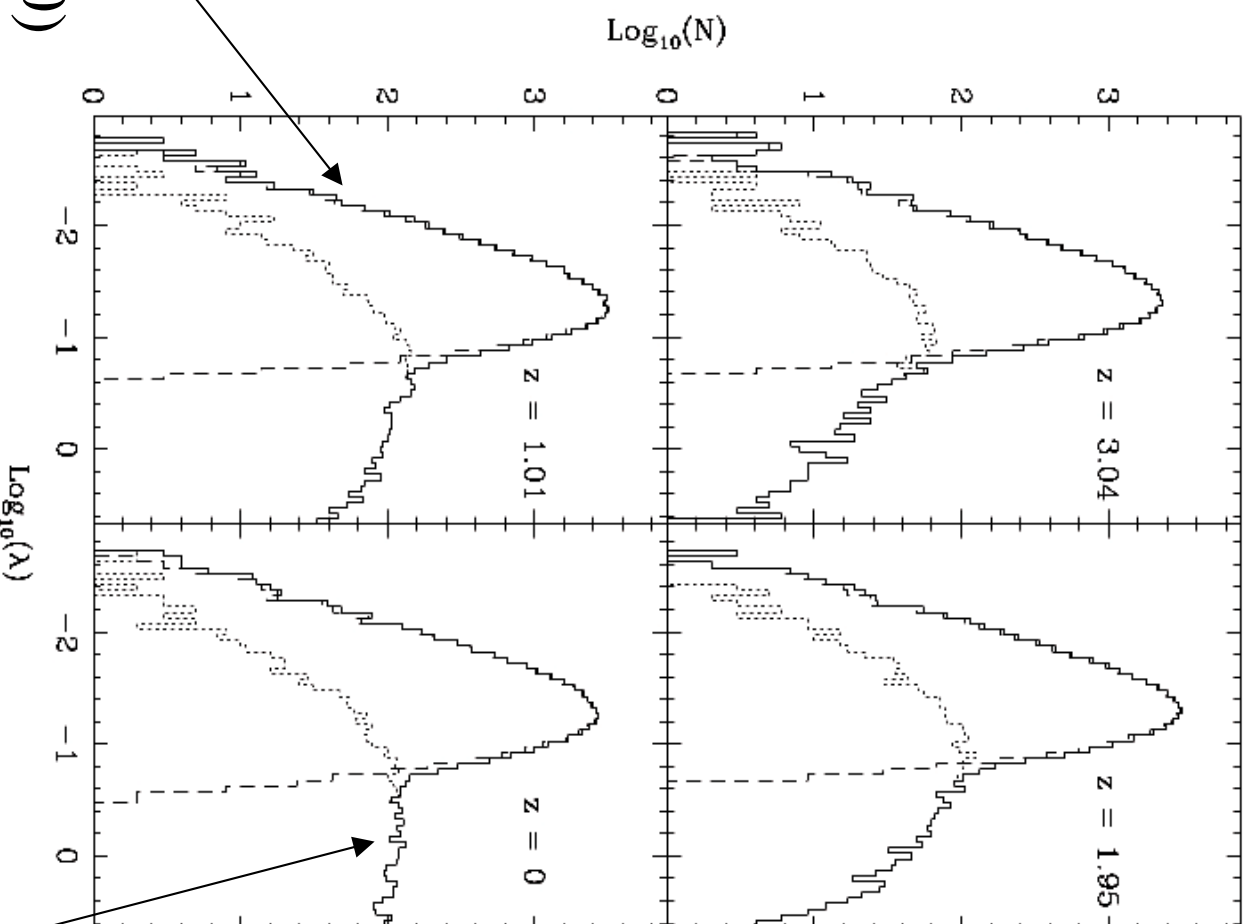
Halo de  
masse  $1.9 \times 10^{14} M_{\text{sun}}$

Les perturbations de densité acquièrent un moment angulaire  $J$  par effet de marée, essentiellement lorsqu'elles sont proches du maximum d'expansion  $r_m$

Il est pratique de définir pour chaque halo le «paramètre de spin sans dimension», dont la distribution évolue peu:

$$\square \equiv \frac{|E|^{1/2} |\vec{J}|}{GM^{5/2}}$$

Liés  
( $E < 0$ )



Non-liés

Evolution de la fonction de corrélation à 2 points des halos

